

# اثر ریزدانه‌های چسبنده بر پاسخ تغییر حجم ماسه‌های اشباع

## پس از بارگذاری سیکلی

سید مجdal الدین میرمحمد حسینی<sup>۱\*</sup>؛ مهدی درخشندی<sup>۲</sup>

### چکیده

پیش‌بینی کرنش حجمی و نشتیت ماسه‌های اشباع پس از اعمال بارهای لرزه‌ای نظریه زلزله از اهمیت ویژه‌ای برخوردار است. در این مطالعه اثر ریزدانه‌های چسبنده بر پاسخ تغییر حجم ماسه‌های اشباع پس از بارگذاری سیکلی مورد بررسی قرار گرفته است. همه نمونه‌ها با استفاده از دستگاه سه‌محوری سیکلی و روش کنترل کرنش بارگذاری شده‌اند. این مطالعه نشان می‌دهد، افزایش فشار منفذی حتی در مقادیر کوچکتر از مقدار متناظر با روانگرایی، باعث تغییر حجم قابل توجه نمونه پس از بارگذاری سیکلی می‌شود. در مخلوط‌های ماسه-کائولینیت برای نسبت فشار آب منفذی کمتر از ۶۰٪، تراکم پذیری حجمی نمونه‌های حاوی ۱۰٪ و ۲۰٪ کائولینیت شبیه به مقدار تراکم پذیری حجمی ماسه تمیز می‌باشد. در فشارهای منفذی نزدیک به روانگرایی کامل، نمونه‌های حاوی ۱۰٪ و ۲۰٪ کائولینیت، کرنش حجمی نزدیک به ۲ تا ۵/۲ درصد از خود نشان می‌دهند که مقدار آن کمی بیشتر از ماسه تمیز می‌باشد. در نسبت‌های فشار منفذی پائین نمونه‌های حاوی ۳۰٪ کائولینیت تغییر حجمی بیش از بقیه نمونه‌ها تجربه می‌کنند. بطوریکه مقدار تراکم پذیری حجمی ثبت شده نزدیک به ۴ مرتبه بزرگتر از بقیه نمونه‌ها می‌باشد.

### کلمات کلیدی

کرنش حجمی، نشتیت، فشار منفذی، تراکم پذیری حجمی، سه محوری سیکلی، ماسه‌های اشباع، ریزدانه‌های چسبنده

## The Effect of Plastic Fines on Reconsolidation Volumetric Response of Saturated Sands

S.M. Mir Mohammad Hosseini , Mehdi Derakhshandi

### ABSTRACT

Settlement in the saturated sands after seismic loading is one of the important phenomena, because of induced damages after the earthquake loading. In this study, the effects of plastic fines on volumetric response were evaluated after cyclic loading in saturated sands. All of the tests were performed by cyclic triaxial tests and strain-controlled method. The results show increasing in excess pore pressure affects on volumetric response after cyclic loading even at the excess pore pressure less than its value to liquefaction. In the sand-kaolinite mixtures for excess pore pressure ratio ( $r_u$ ) less than 60%, the volumetric compressibility of the specimens contain 10% and 20% kaolinite is near to it's of clean sands but their excess pore pressure value around the liquefaction are a little more than clean sands (~2% to 2.5%). At the lower excess pore pressure, the specimens contains 30% kaolinite show the volumetric strain 4 times greater then other specimens.

### KEYWORDS

Volumetric strain, Settlement, Pore pressure, Volumetric compressibility, Cyclic triaxial tests, Saturated sands, Plastic fines.

تاریخ دریافت مقاله: ۱۳۸۶/۶/۲۰

تاریخ اصلاحات مقاله: ۱۳۸۷/۱۰/۱۱

\* نویسنده مسئول و دانشیار دانشکده مهندسی عمران و محیط زیست دانشگاه صنعتی امیرکبیر: Email: mirh53@yahoo.com

<sup>۱</sup> استادیار دانشکده مهندسی(عمران) دانشگاه اراک: Email: m-derakhshandi@araku.ac.ir



## ۱- مقدمه

در صورتیکه روانگرایی اتفاق نیفتد و  $\pi$  کوچکتر از  $60\%$  باشد، کرنش حجمی ایجاد شده کمتر از  $0/3$  درصد می‌باشد در حالیکه اگر روانگرایی کامل اتفاق بیفتد کرنش حجمی ممکن است به  $2$  تا  $3$  درصد و یا حتی بیشتر در خاکهای سست افزایش یابد. همچنین در فشارهای منفذی یکسان، نمودارهای با دانسیته نسبی اولیه پایین‌تر، کرنش حجمی بیشتری نسبت به نمونه‌های با دانسیته نسبی اولیه بالاتر از خود نشان می‌دهند.

این تفاوت در  $>0/6$  قابل توجه می‌باشد (شکل ۲).

[۴] Tatsuoka et al. (۱۹۸۴) Yoshimi et al. (۱۹۷۵) و [۵] Nagase and Ishihara (۱۹۸۸) بارگذاری سیکلی را مورد بررسی قرار دادند. این مطالعات نشان داد، کرنش حجمی ایجاد شده پس از بارگذاری سیکلی به جرم حجمی نسبی و کرنش برشی سیکلی اعمالی واپسیه Tokimatsu می‌باشد. در این راستا محققین مختلفی از جمله (۱۹۹۲) Ishihara and Yoshimine (۱۹۸۷) and Seed (۱۹۸۷) [۶] و [۷] روش‌های ساده شده‌ای را برای پیش‌بینی مقدار کرنش حجمی ایجاد شده پس از اعمال بار سیکلی در ماسه‌های اشباع پیشنهاد نمودند. Tokimatsu and Seed (۱۹۸۷) [۶] پیش‌بینی مقدار نشستهای ایجاد شده پس از اعمال بار سیکلی در نهشت‌های ماسه‌ای اشباع را بر اساس روابط میان کرنش حجمی، عدد SPT و تنش برشی مورد نیاز برای روانگرایی کامل بیان نمودند.

Ishihara and Yoshimine (۱۹۹۲) [۷] یک خانواده از روابط بین کرنش حجمی حاصل از فشار منفذی اضافه و ضریب اطمینان در برابر روانگرایی ارائه دادند که از حدکثر کرنش برشی بعنوان پارامتر مؤثر بر کرنش حجمی استفاده شده است. روابط مورد استفاده در این روش‌های ساده شده تخمینی بوده و دقت عملکرد آنها بطور دقیق مشخص نیست و بستگی به شرایط مرزی آزمایش و نوع ماسه دارد.

Ishihara and Yoshimine (۱۹۹۲) [۷] همچنین نشان دادند هنگامی که ضریب اطمینان در برابر روانگرایی بزرگتر از  $1$  می‌باشد، کرنش حجمی ایجاد شده نزدیک به  $0/5$  درصد می‌باشد. در حالیکه برای ضرایب اطمینان کوچکتر از  $1$  در ماسه‌های سست، مقدار کرنش حجمی ایجاد شده ممکن است به مقادیری نزدیک به  $5$  درصد افزایش یابد.

Nagase and Ishihara (۱۹۸۸) [۶] با انجام آزمایش‌های (Multiple & Uni Directional Simple Shear Test) بر روی ماسه رودخانه فوجی (Fuji River Sand) مقدار کرنش حجمی ایجاد شده پس از بارگذاری سیکلی را بر روی این ماسه در  $3$  دانسیته نسبی

اعمال بارهای سیکلی نظیر بارهای لرزه‌ای باعث ایجاد فشار منفذی اضافه در ماسه‌ها می‌گردد. اگر بزرگی و تعداد سیکل بار اعمالی بقدر کافی بزرگ باشد، فشار منفذی اضافه ایجاد شده با تنفس مؤثر همه جانبی بین ذرات خاک مساوی شده و با از بین رفتن اندرکنش بین دانه‌های ماسه، مقاومت برشی خاک از دست رفته و خاک روانگرا می‌شود. با توجه به خصوصیات خاک از جمله دانه‌بندی، تراکم، لایه‌بندی و ساختار توده خاک، ممکن است خاک بطور کامل به حالت روانگرا درآمده و همراه با جوشش ماسه روان گردد یا اینکه باعث ایجاد نشست در توده خاک گردد که در هر دو صورت، کاهش سختی مقاومت خاک باعث ایجاد خسارتهای کلی یا جزئی به سازه‌ها می‌گردد. نشست ایجاد شده در توده خاک در اثر افزایش فشار منفذی حتی اگر دامنه و مدت زمان اعمال بار سیکلی به اندازه‌ای نباشد که باعث ایجاد روانگرایی کامل گردد (۱۰۰٪  $\pi$ ) قابل توجه خواهد بود.

نشست زمین ناشی از کرنش حجمی در اثر استهلاک فشار منفذی حاصل از زلزله بوجود می‌آید. این پدیده برای یک المان خاک در شکل (۱) نشان داده شده است [۱]. در ابتدا المان خاک در نقطه A در تعادل زهکشی است (فشار منفذی اضافه صفر). لرزش‌های ناشی از زلزله باعث ایجاد فشار آب منفذی اضافه در شرایط زهکشی می‌شود، لذا تنفس مؤثر به میزان نشان داده شده در نقطه B کاهش می‌یابد. این فشار منفذی اضافه باعث ایجاد گرادیان هیدرولیکی می‌شود که آب حفره‌ای را به خارج از حفره ها می‌راند. جریان آب گرادیان هیدرولیکی را تا زمانیکه فشار منفذی اضافه بطور کامل از بین برود، کاهش می‌دهد (نقطه C). با خروج آب از حفرات خاک، حجم المان کاهش یافته که مقدار این تغییر حجم با میزان افزایش فشار منفذی ناشی از زلزله افزایش می‌یابد. حتی فشارهای منفذی اضافه کوچک که برای ایجاد روانگرایی جریانی یا حرکت سیکلی کافی نباشد می‌تواند باعث نشست در نهشت‌های ماسه‌های اشباع پس از زلزله گردد. جرم حجمی ماسه، کرنش برشی ماکزیمم و مقدار فشار منفذی اضافه ایجاد شده ناشی از زلزله از جمله پارامترهای مؤثر در میزان تراکم پس از زلزله بشمار می‌روند. Lee and Albaisa (۱۹۷۴) [۲] به منظور شبیه‌سازی نشستهای ایجاد شده در اثر افزایش فشار منفذی در محل تعدادی آزمایش سه محوری سیکلی بر روی چند نوع ماسه انجام داده و کرنش حجمی در سطوح مختلف فشار منفذی ایجاد شده را اندازه گیری نمودند. نتایج این مطالعه نشان داد



اگرچه استانداردهای ۴۲۵۳ ASTM D و ۴۲۵۴ ASTM D [۸] حداقل و حداکثر نسبت تخلخل ( $e_{max}, e_{min}$ ) نمونه‌های ماسه‌ای حاوی ریزدانه را، به حداکثر ۱۵ درصد ریزدانه غیر چسبنده محدود می‌کند، لیکن بدلیل فقدان استاندارد جایگزین دیگر، به منظور اندازه‌گیری مقادیر حداکثر نسبت تخلخل ( $e_{max}$ ) از روش C استاندارد ۴۲۵۴ ASTM D [۹] و برای تعیین حداقل نسبت تخلخل ( $e_{min}$ ) از روش آزمایش تراکم پراکتور اصلاح شده بر اساس استاندارد ۴۲۵۴ ASTM D [۱۰] استفاده شده است. شکل (۵) تغییرات نسبت‌های تخلخل مخلوط‌های ماسه - کائولینیت را نشان می‌دهد.

دیگر آزمایش‌های اندیسی شامل آزمونهای توده ویژه جامد (ASTM D ۴۳۱۸-۰۵) (ASTM D ۸۵۴) [۱۱]، حدود اتربرگ (ASTM D ۴۳۱۸-۰۵) [۱۲] می‌باشد که بر روی مصالح ماسه‌ای حاوی کائولینیت انجام شده است. خصوصیات خمیری و اندیسی مخلوط‌های ماسه #۳۰/ Monterey و کائولینیت مورد استفاده جدول (۱) نشان داده شده است. در این مطالعه از روش تراکم کاهش یافته با درصد تراکم کاهش یافته اولیه  $Un_1 = 6\%$  برای ساخت نمونه‌های بازسازی شده استفاده شده است. مزیت عده روشن تراکم کاهش یافته، ایجاد نمونه‌های کاملاً یکنواخت می‌باشد که در محدوده وسیعی از دانسیته شکل می‌گیرد. در حقیقت هنگامیکه خاک در چندین لایه متراکم می‌شود، تراکم هر لایه از لایه‌های بعدی، باعث افزایش تراکم خاک موجود در زیر آن لایه می‌گردد. تراکم لایه دوم باعث تراکم بیشتر لایه اول و تراکم لایه سوم باعث افزایش تراکم لایه دوم و اول می‌شود و به همین ترتیب با افزایش این لایه‌ها این روند ادامه پیدا می‌کند. با استفاده از روش تراکم کاهش یافته این عدم یکنواختی تراکم مرتفع می‌گردد. در این روش هر لایه تا دانسیته‌ای کمتر از آنچه که در نهایت مورد نظر است کوبیده می‌شود. آزمایش‌های سه محوری سیکلی با روش کنترل کرنش بر روی نمونه‌های حاوی مخلوط‌های ماسه #۰/۳۰ Monterey و کائولینیت انجام شده است. نمونه‌های استوانه‌ای با ابعاد in (۲/۵ cm) × (۶/۳۵ cm) قطر و in (۱۲/۷ cm) ارتفاع در ۷ لایه ساخته شده‌اند.

### ۳- اثر ریزدانه کائولینیت بر پاسخ تغییرات حجم ماسه‌های اشباع

پیش‌بینی نشست در طرح‌های مهندسی و در نتیجه تغییر حجم ایجاد شده پس از اعمال بارهای سیکلی بویژه در شرایط روانگرایی کامل ( $r_u = 100\%$ )، دارای اهمیت فراوانی می‌باشد. حتی اگر حرکات زلزله برای رسیدن به روانگرایی کامل کافی نباشد، فشار منفذی اضافه هنوز در خاک افزایش یافته و

نمودند (شکل ۳-الف). همچنین شکل (۳-ب) تغییرات کرنش حجمی را در برابر نسبت فشار منفذی اضافه نشان می‌دهد. مطابق شکل (۳-ب) کرنش حجمی ایجاد شده در آستانه روانگرایی برای نسبتها دانسیته نسبی ۴۷٪ و ۹۳٪ به ترتیب نزدیک به ۱/۲٪، ۸٪ و ۵٪ می‌باشد.

خاکهای ماسه‌ای موجود در طبیعت بطور عده ماسه تمیز نبوده و با مقداری ریزدانه همراه می‌باشد. از آنجاکه جنبه‌های مختلف رفتاری خاکهای ماسه‌ای لای دار تا حدی مورد بررسی قرار گرفته است، لذا این پژوهش به بررسی اثر ریزدانه‌های چسبنده بر پاسخ تغییر حجم ماسه‌های اشباع پس از بارگذاری سیکلی پرداخته است. همچنین بدلیل اینکه بیشتر ریزدانه‌های چسبنده موجود در ماسه‌های طبیعی دارای میزان خمیری متوسط می‌باشند، لذا رس کائولینیت (PI=۱۵/۵) برای این تحقیق انتخاب گردیده است. با این حال این پژوهش را می‌توان در مورد ریزدانه‌های با چسبندگی بالا نیز انجام داد.

## ۲- تجیزات و مصالح مورد استفاده و روش انجام آزمایش‌ها

دستگاه مورد استفاده برای انجام آزمایش‌ها از نوع سه محوری سیکلی (GCTS) می‌باشد که قادر به اعمال انواع مختلفی از مسیرهای تنفس و کرنش می‌باشد. این دستگاه به منظور بارگذاری نمونه از سیستم اتوماتیک کنترل حلقه بسته الکتریکی- هیدرولیکی استفاده می‌کند. اعمال بار در این دستگاه می‌تواند از مقادیر فرکانس‌های بسیار پایین ۰/۰۰۵ هرتز تا حد بالای ۲۰ هرتز اعمال شود. در این تحقیق در کلیه بارگذاری‌ها از فرکانس ۰/۱ هرتز استفاده شده است. آزمایش‌های انجام شده همگی از نوع سیکلی کنترل کرنش می‌باشد که تغییر شکل کنترل شده از طریق یک حسگر مینیاتوری تغییر شکل  $\pm 1\text{ mm}$  (Miniature LVDT)، با محدوده اندازه‌گیری  $0.0005\text{ mm}$ ، با حساسیتی برابر با  $0.0005\text{ mm}$  بصورت سیکلی به نمونه اعمال می‌شود. که توسط آن می‌توان کرنش‌های بسیار پائینی را در آزمایش‌های سیکلی کنترل کرنش به نمونه اعمال نمود.

برای انجام آزمایش‌های سه محوری سیکلی کنترل تنفس از ترکیبات مختلف ماسه #۳۰ Monterey و کائولینیت استفاده شده است. منحنی توزیع دانه‌بندی این مصالح در شکل (۴) نشان داده شده است. همچنین بمنظور بررسی اثر ریزدانه‌ها بر پاسخ تغییر حجم ماسه‌ها پس از اعمال بار سیکلی از مخلوط ماسه #۰/۳۰ Monterey و کائولینیت در درصدهای ریزدانه ۰، ۱۰، ۲۰ و ۳۰٪ استفاده شده است.

$$M_v = \frac{\Delta \varepsilon_v}{\Delta \sigma'} = \frac{\varepsilon_v}{r_u (\sigma'_c)} \approx 4 \times 10^{-5} (1/kpa) \quad (1)$$

که در آن  $100' \sigma' = \text{کیلوپاسکال}$  و  $(r_u (\sigma'_c)) \approx 0.4$  می باشد.

یک استثناء در مورد نمونه های حاوی ۳۰ درصد کائولینیت در  $r_u = 15\%$  می باشد. این نمونه ها کرنش حجمی برابر  $25\%$  درصد (شکل ۶) و  $M_v = 1/84 * 10^{-4}$  ( یک تقسیم بر کیلوپاسکال) را تجربه می کنند (شکل ۸). شکل های (۶) و (۷) نشان می دهد که در نمونه های حاوی ۳۰٪ کائولینیت نمونه ها روند غیر معمولی از کرنش حجمی را از خود نشان می دهند. به این ترتیب که در سطوح کرنش برشی کوچک ( $0.03\%$ ) نمونه کرنش های حجمی نزدیک به  $25\%$  درصد و مقادیر کوچک ( $0.10\%$ ) از خود نشان می دهند. در مقدار فشار منفذی  $60\%$ ، کرنش حجمی برای  $FC=20\%$  مشابه مقادیر است که برای درصد های دیگر ریزدانه بدست آمده است.

بانزدیک شدن نمونه ها به روانگرایی،  $M_v$  به مقادیر بیش از ۵ برابر افزایش می یابد (شکل ۸). در اینجا داده های مربوط به مقادیر کائولینیت ۱۰ و ۲۰ درصد تفاوت قابل ملاحظه ای نسبت به ماسه تمیز از خود نشان نمی دهند. با توجه به اینکه هیچ کدام از نمونه های حاوی ۳۰٪ کائولینیت، به فشار منفذی بزرگتر از ۶۰٪ نرسیده اند، لذا هیچ داده ای از کرنش حجمی و  $M_v$  این نمونه ها در نسبت های فشار منفذی بزرگتر در دسترس نمی باشد.

#### ۴- بحث و تفسیر نتایج

بمنظور ارزیابی اثر ریزدانه بر تراکم پذیری حجمی، تغییر حجم هر نمونه پس از بارگذاری سیکلی اندازه گیری و ثبت گردید. برای نسبت فشار های منفذی اضافه کمتر از  $60\%$ ، تراکم پذیری حجمی نمونه های حاوی  $10\%$  و  $20\%$  کائولینیت شبیه به مقدار تراکم پذیری حجمی ماسه تمیز می باشد. بانزدیک شدن به روانگرایی کامل، نمونه های حاوی  $10\%$  و  $20\%$  کائولینیت، کرنش حجمی کمی بیشتر از ماسه تمیز از خود نشان می دهند. اما مقدار آن هنوز در محدوده  $2/5$  درصد می باشد. بعنوان یک فرضیه می توان دلیل این پدیده را به افزایش کرنش حجمی در مقادیر کائولینیت  $10\%$  و  $20\%$  و فشار های منفذی نزدیک به روانگرایی، به دلیل نقش لغزشی پولک های ریزدانه چسبنده در حد فاصل ذرات ماسه در نمونه های مورد آزمایش مربوط داشت، بطوریکه وجود صفحات کائولینیت باعث افزایش لغزندگی بین دانه های ماسه شده که این خود باعث تغییر شکل

استهلاک این فشار منفذی موجب کاهش نسبت تخلخل و نشت در سطح زمین می شود.

در این تحقیق برای هر سطح از کرنش برشی، پس از اعمال ۵ سیکل کرنش سیکلی شیر زهکشی نمونه باز شده و مقدار آب خروجی با استفاده از بورت دقیق (با دقت  $0.025 \text{ cm}^3$ ) اندازه گیری و تغییرات حجم نمونه بدست آمده است. با استفاده از حجم آب زهکشی شده، کرنش حجمی ناشی از فشار منفذی اضافه مربوط به کرنش سیکلی اعمالی تعیین و مورد بررسی قرار گرفت.

شکل (۶) کرنش حجمی اندازه گیری شده پس از ۵ سیکل بارگذاری را به عنوان تابعی از کرنش برشی اعمالی نشان می دهد. در کرنش های برشی کوچکتر از  $0.03$  درصد همه خاک ها، کرنش حجمی کوچکتر را نشان می دهند ( کمتر از  $0.02\%$ ). در کرنش های بزرگ نمونه های با مقدار کائولینیت  $10\%$  و  $20\%$  درصد بزرگترین کرنش های حجمی را تجربه می کنند در حالیکه کرنش حجمی ایجاد شده در نمونه های حاوی  $30\%$  درصد کائولینیت حداقل می باشد. در شرایط زهکشی نشده کرنش حجمی در پاسخ به افزایش فشار آب منفذی اتفاق می افتد. تغییرات کرنش حجمی در برابر حداقل فشار منفذی ایجاد شده ( $r_{u,max}$ ) در شکل (۷) نشان داده شده است. در اینجا نتایج مربوط به نمونه های با درصد های مختلف ریزدانه مشابه می باشد، بطوریکه همه کرنش های حجمی متاظر با  $r_{u,max}$  کمتر از  $60\%$ ، کوچکتر از  $5/0$  درصد می باشد. این مقادیر قابل مقایسه با نتایج بدست آمده توسط Lee and Albaisa (۱۹۷۴)

[۲] بر روی ماسه Monterey می باشد. در فشار های منفذی نزدیک به روانگرایی کامل، کرنش های حجمی بصورت قابل توجهی به مقادیر بیش از ۲ درصد افزایش می یابد. در شکل (۷) در نسبت های فشار منفذی بزرگتر از  $90\%$  درصد، کرنش های حجمی بوجود آمده در نمونه های حاوی  $10\%$  و  $20\%$  درصد کائولینیت تا حدی بزرگتر از نمونه های ماسه تمیز می باشد.

شکل (۸) تغییرات ضربیت تراکم پذیری حجمی ( $M_v = \frac{\Delta \varepsilon_v}{\Delta \sigma'}$ ) را به عنوان تابعی از نسبت فشار منفذی حداقل ( $r_{u,max}$ ) نشان می دهد. همچنین مقادیر مختلف ضربیت تراکم پذیری حجمی ( $M_v$ ) با توجه به کرنش های حجمی و فشار منفذی اضافه ( $\Delta \sigma' = r_u \sigma'_c$ ) محاسبه گردید. در نسبت های فشار منفذی ( $r_u$ ) کمتر از  $60\%$  همه نمونه ها مقادیر مشابهی از  $M_v$  را از خود نشان می دهند. که این نتایج با مقادیر بدست آمده توسط Lee and Albaisa (۱۹۷۴) [۲] (رابطه ۱) برابری دارد.



## ۵- نتیجه‌گیری

- در خاکهای ماسه‌ای حاوی مقادیر رس کم تا حدود ۲۰ درصد، وجود صفات پولکی کائولینیت باعث افزایش لغزندگی بین دانه‌های ماسه شده که این خود باعث تغییر شکل بیشتر ساختار ماسه و افزایش بیشتر فشار منفذی و کرنش حجمی می‌گردد.
- در فشارهای منفذی بالا، نزدیک به روانگرایی کامل، نمونه‌های حاوی ۱۰٪ و ۲۰٪ کائولینیت، کرنش حجمی بیشتر از ماسه تمیز از خود نشان می‌دهند
- در صورتیکه مقدار کائولینیت از مقداری حدی، بیشتر شود بطوریکه ماتریس کائولینیت بر ماتریس ماسه غلبه کند ( $e_{s,c} > e_{\max, clean}$ ) تماس دانه‌های ماسه با یکدیگر از بین رفته و نمونه تغییر شکل حجمی بیشتری از خود نشان می‌دهد.

## ۶- تقدير و تشكير

از گروه ژئوتکنیک دانشگاه تگزاس (آستین) به خاطر فراهم ساختن تسهیلات آزمایشگاهی قدردانی و سپاسگذاری می‌شود. همچنین از راهنمایی‌های ارزشنه خانم دکتر ۰الن راچه صمیمانه تشکر و قدردانی به عمل می‌آید.

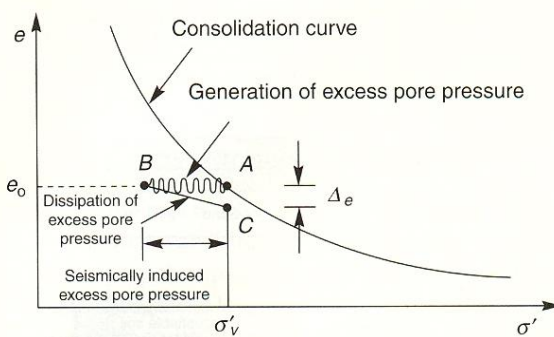
بیشتر ساختار ماسه و افزایش بیشتر فشار منفذی و در نتیجه کرنش حجمی می‌گردد. در نسبت‌های فشار منفذی پائین نمونه‌های حاوی ۳۰٪ کائولینیت تغییر حجمی بیش از بقیه نمونه‌ها تجربه می‌کنند بطوریکه مقدار تراکم پذیری حجمی ثبت شده حدود ۴ مرتبه بزرگتر از بقیه نمونه‌ها می‌باشد. همچنین به دلیل آنکه در نمونه‌های حاوی ۳۰٪ کائولینیت فشار منفذی تا بیش از ۶۰٪ افزایش نمی‌یابد. لذا تغییر حجمی برای این نمونه‌ها در نزدیکی روانگرایی کامل بدست نمی‌آید. دلیل افزایش کرنش حجمی نمونه‌های ماسه‌ای حاوی ۳۰٪ درصد کائولینیت در نسبت فشارهای همه جانبه کوچکتر از ۶۰ درصد، نسبت به نمونه‌های ماسه‌ای حاوی ۰، ۱۰ و ۲۰ درصد کائولینیت، خاصیت جذب آب کائولینیت در درصددهای رس بالاتر می‌باشد ، بطوریکه در مقدار کائولینیت ۳۰٪ بدلیل غلبه ماتریس کائولینیت بر ماتریس ماسه ( $e_{s,c} > e_{\max, clean}$ ) در نمونه، تماس دانه‌های ماسه با یکدیگر از بین رفته و تغییر شکل حجمی بیشتری در نمونه بوجود می‌آید و بنابراین در نمونه‌های حاوی ۳۰٪ کائولینیت مقدار کرنش حجمی ایجاد شده بینزان قابل توجهی نسبت به نمونه‌های ماسه‌ای حاوی ۰، ۱۰ و ۲۰ درصد کائولینیت افزایش می‌یابد.

## ۷- مراجع

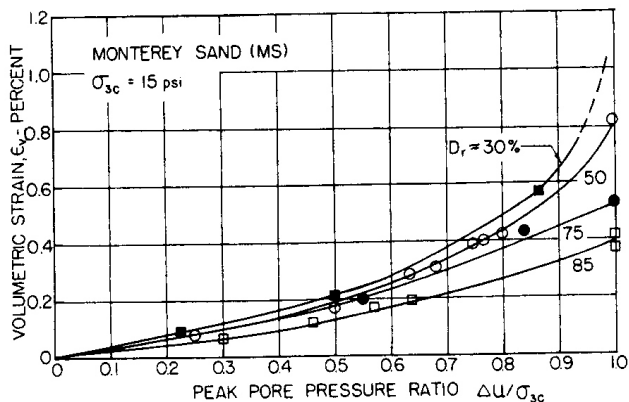
- |  |      |  |     |
|--|------|--|-----|
| Ishihara, K. and Yoshimine, M. (1992), "Evaluation of Settlements in Sand Deposits Following Liquefaction During Earthquake", Soils and Foundations, Vol.32, No.1, pp.173-188.   | [۷]  | Kramer, S. L. (1996), "Geotechnical Earthquake Engineering", Prentice-Hall, Inc., 402 pp.  | [۱] |
| ASTM D 4253 (2000), "Standard test methods for maximum index density and unit weight of soils using a vibratory table".  | [۸]  | Lee, K. L., and Albaiza, A. (1974), "Earthquake Induced Settlements in Saturated Sands," Journal of the Geotechnical Engineering Division, ASCE, Vol. 100, No. GT4, pp. 387-406.   | [۲] |
| ASTM D 4254 (2000), "Standard test methods for minimum index density and unit weight of and calculation of relative density".  | [۹]  | Yoshimi, Y., Kuwabara, F. and Tokimatsu, K. (1975). "One dimensional Volume change characteristics of Sands Under Very Low Confining Stresses," Soils and Foundations, Vol. 15, No. 3, pp. 51-60.                                      | [۳] |
| ASTM D 1557 (2000), "Standard test methods for laboratory compaction characteristics of soil using modified effort", (56,000 ft-lbf/ft <sup>3</sup> (2,700 kN/m <sup>3</sup> )). | [۱۰] | Tatsuoka, F., Sasaki, T. and Yamada, S. (1984). "Settlement in saturated sand induced by cyclic undrained simple shear," Proceedings, 8th World Conference on Earthquake Engineering, San Francisco, California , Vol. 3, pp. 398-405. | [۴] |
| ASTM D 854 (2000), "Standard test methods for specific gravity of soil solids by water pycnometer," 0pp. 1-7.  | [۱۱] | Nagase, H. and Ishihara, K. (1988). "Liquefaction-induced compaction And settlement of sand during earthquakes," Soils and Foundations, Vol. 28, No. 1, pp. 66-76.   | [۵] |
| ASTM D 4318-05 (2000), "Standard test methods for liquid limit, plastic limit, and plasticity index of soils"  | [۱۲] | Tokimatsu, K. and Seed, H.B. (1987)," Evaluation of settlements in sands due to earthquake shaking, " Proc. ASCE, Journal of the Geotechnical Engineering Division, Vol. 113, no. GT8, pp. 861-878.                                    | [۶] |

جدول (۱): خصوصیات اندازه‌گیری شده مخلوطهای ماسه #۰/۳۰ و کائولینت

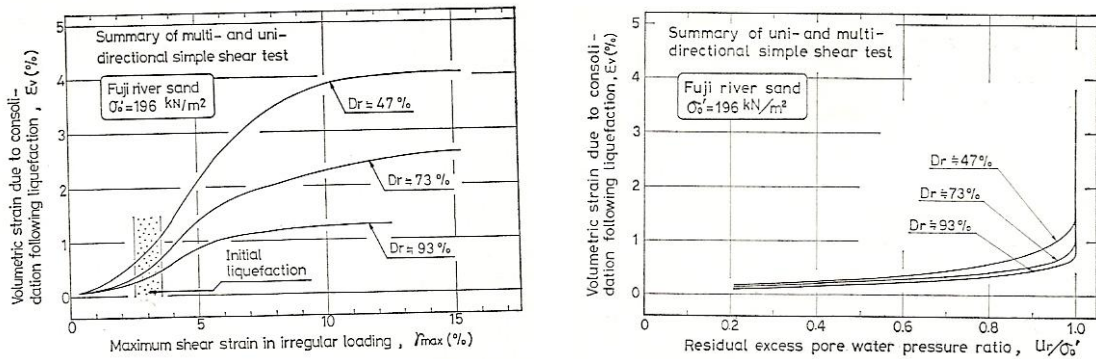
درصد ریزدانه (% وزنی)					خصوصیت اندازه‌گیری شده
۱۰۰	۳۰	۲۰	۱۰	.	
۲/۵۸	۲/۶۲۲	۲/۶۲۸	۲/۶۲۳	۲/۶۴	$G_s$
۴۱/۷	۱۵/۳	۱۱/۵	۸/۸	-	LL
۲۶/۲	۱۰/۳	۹/۶	-	-	PL
۱۵/۰	۰	۱/۹	N.P	-	PI
CL/CM	SC	SC	SP-SC	SP	USGS
طبقه‌بندی خاک در استاندارد					طبقه‌بندی خاک در استاندارد



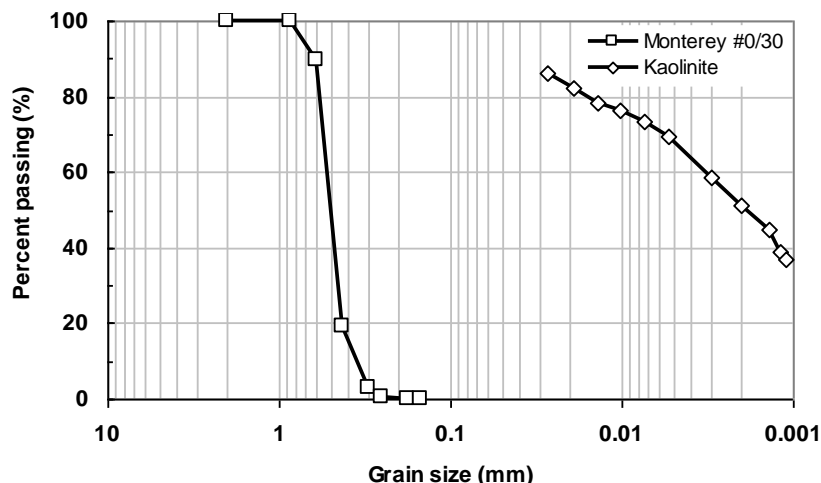
شکل (۱): مراحل ایجاد نشست حاصل از استهلاک فشار منفذی اضافه ناشی از زلزله [۱] (Kramer, 1996)



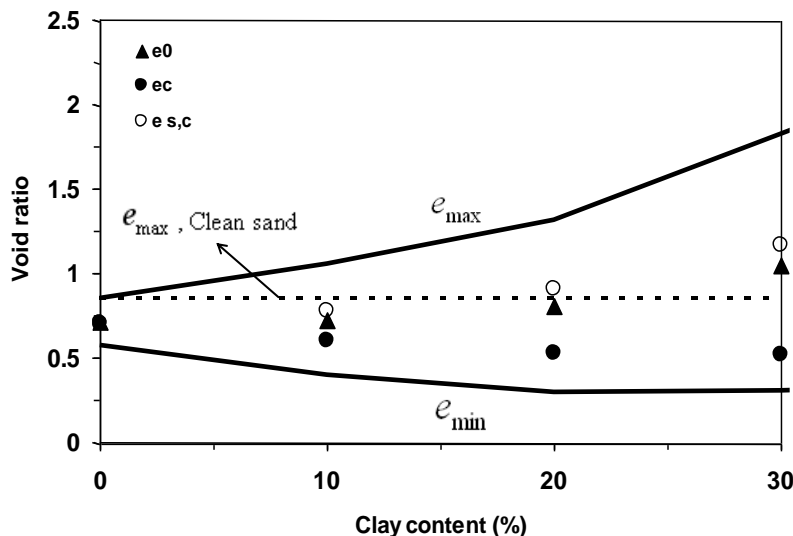
شکل (۲): اثر دانسیته نسبی اولیه بر کرنش حجمی تحکیمی پس از بارگذاری سیکلی [۲] (Lee and Albaisa, 1974)



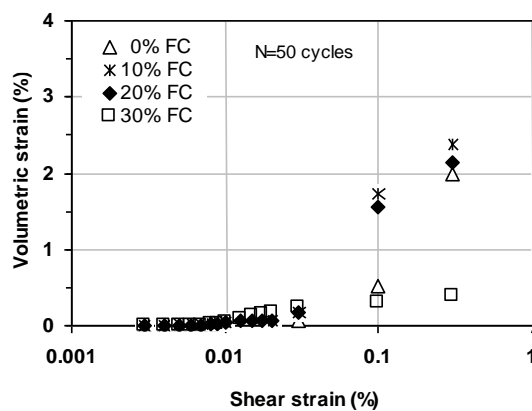
شکل (۳) (الف) کرنش حجمی ( $\epsilon_v$ ) در برابر حداقل کرنش برشی بارگذاری نامنظم ( $\gamma_{max}$ ) در دانسیته‌های نسبی مختلف (ب) تغییرات کرنش حجمی در برابر نسبت اضافه فشار منفذی در دانسیته‌های نسبی [۵] (Nagase and Ishihara, 1988)



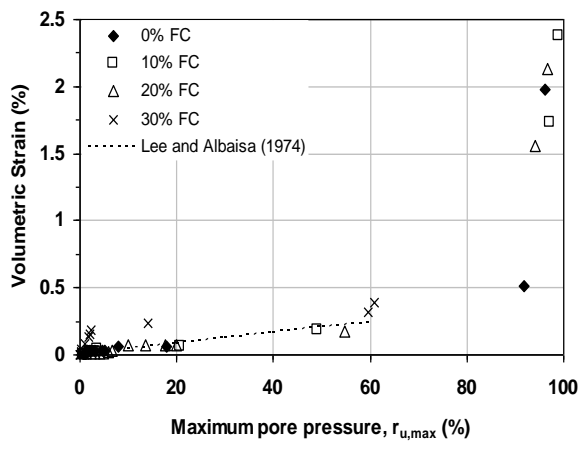
شکل (۴): منحنی توزیع دانه‌بندی ماسه Monterey #0/30 و کائولینیت



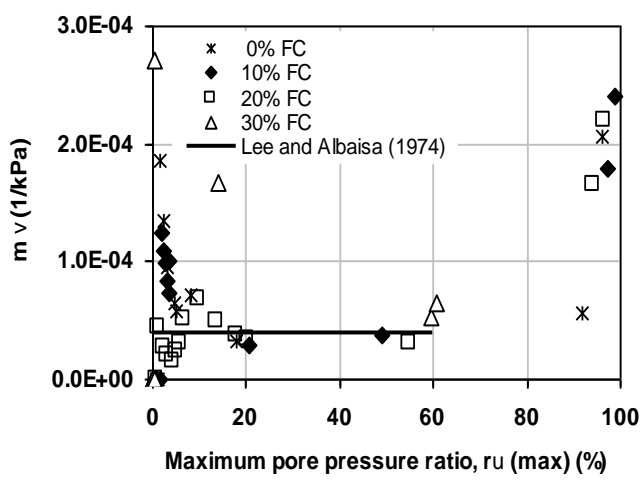
شکل (۵): تغییرات نسبت‌های تخلخل حداقل ( $e_{\min}$ ), حداقل ( $e_{\max}$ )، نسبت تخلخل پس از ساخت نمونه ( $e_0$ )، نسبت تخلخل پس از تحکیم ( $e_c$ ) نسبت تخلخل اسکلت ماسه‌ای پس از تحکیم ( $e_{s,c}$ ) در برابر درصد ریزدانه برای مخلوط‌های ماسه ۰/۳۰ Monterey و کائولینیت



شکل (۶): کرنش حجمی پس از ۵۰ سیکل بارگذاری در برابر کرنش برشی برای نمونه‌های ماسه‌ای حاوی ریزدانه‌های چسبنده



شکل (۷): کرنش حجمی پس از ۵۰ سیکل بارگذاری در برابر حداقل نسبت فشار منفذی برای نمونه‌های ماسه‌ای حاوی ریزدانه‌های چسبنده



شکل (۸): ضریب فشردگی پذیری حجمی در برابر حداقل نسبت فشار منفذی اضافه برای نمونه‌های ماسه‌ای حاوی ریزدانه‌های چسبنده پس از ۵۰ سیکل بارگذاری